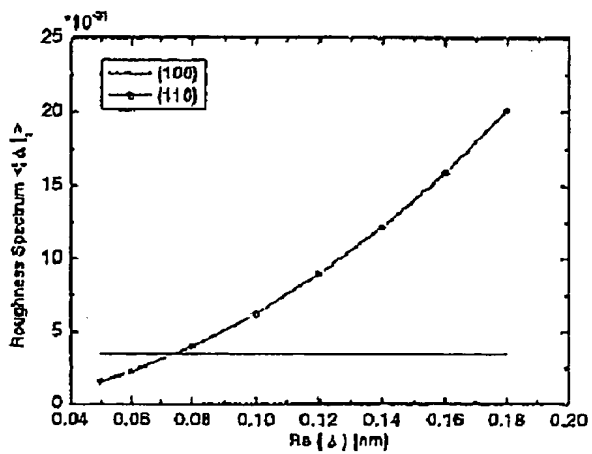
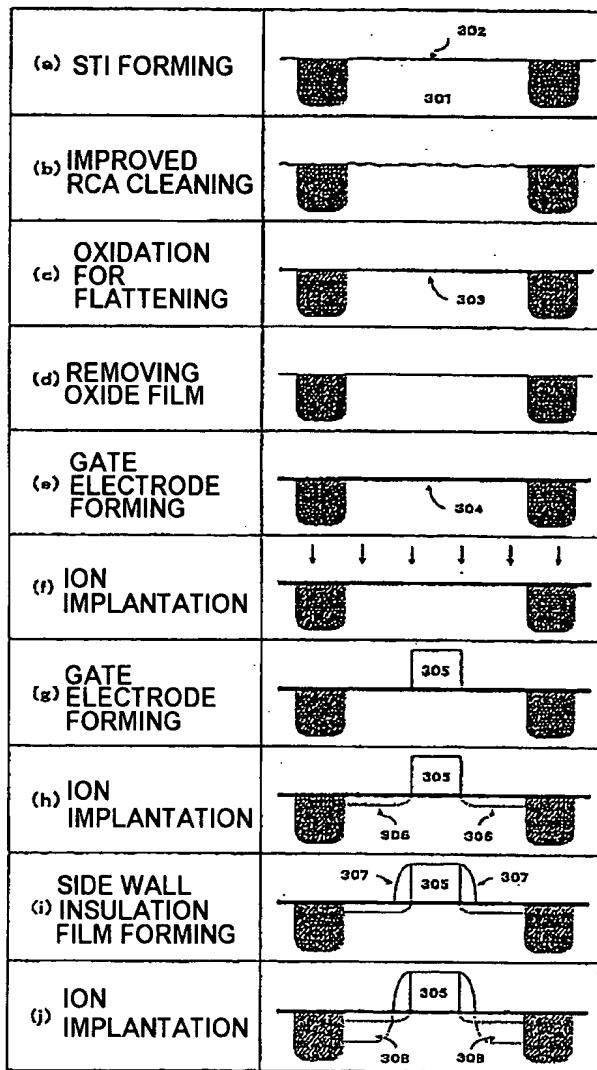


**FIG. 1**  
RELATED ART



**FIG. 2**



**FIG. 3**

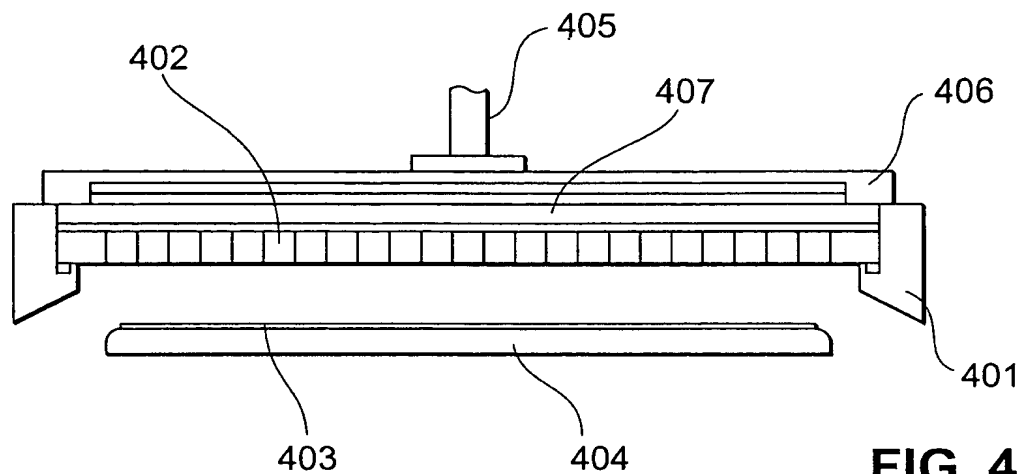


FIG. 4

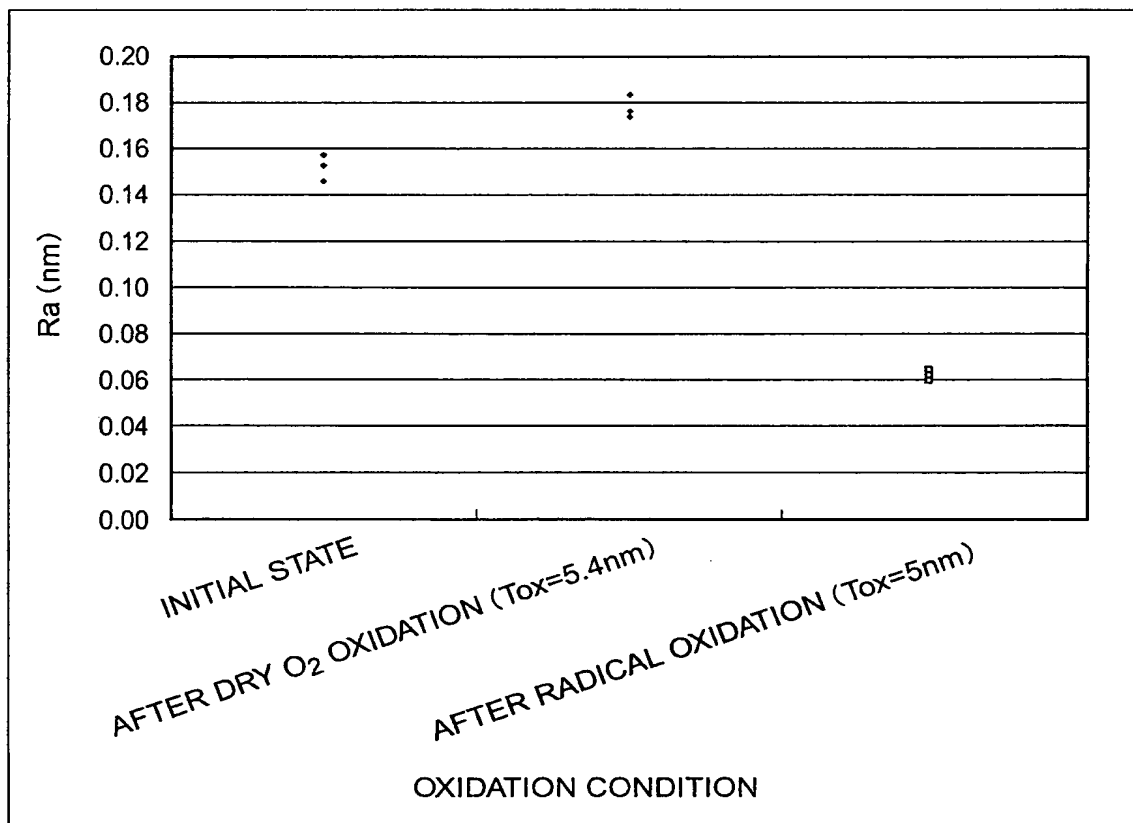
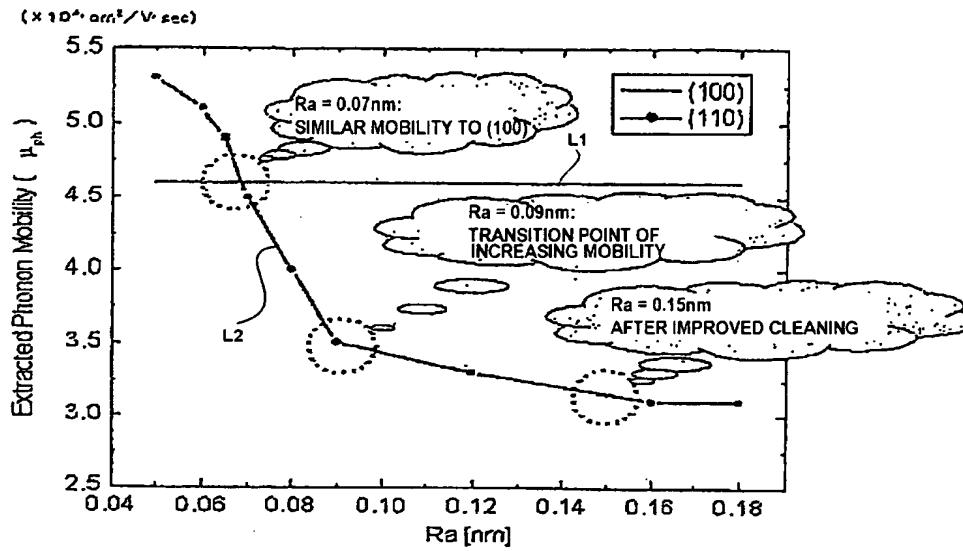
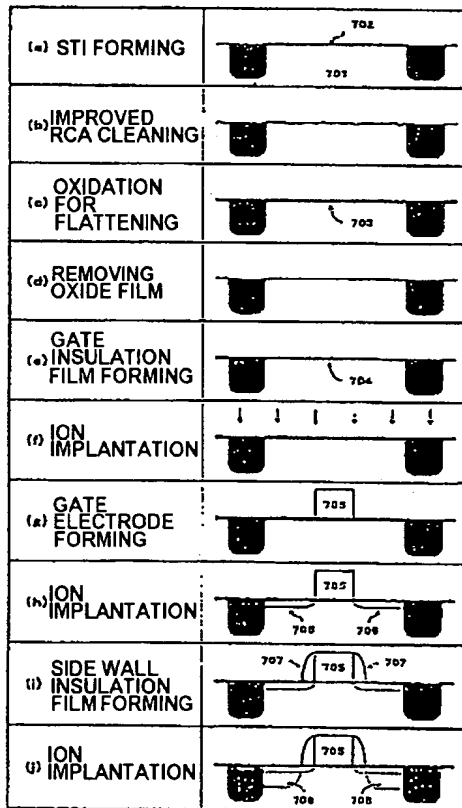


FIG. 5



**FIG. 6**



**FIG. 7**

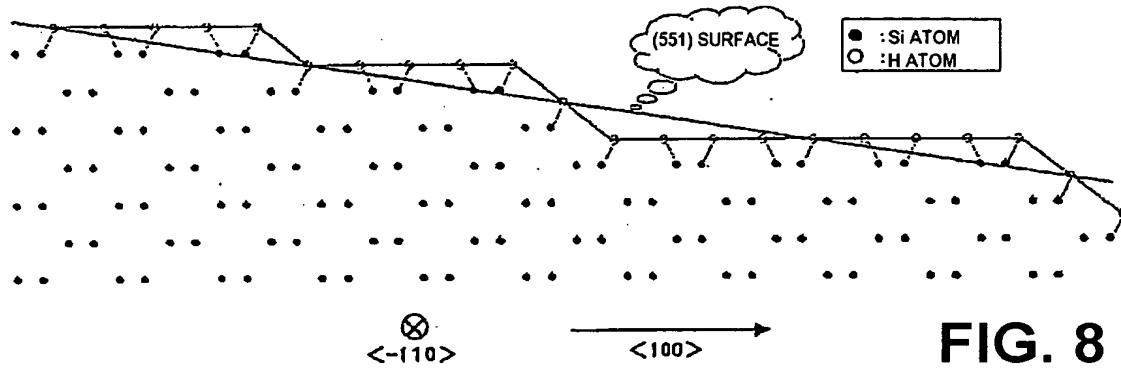


FIG. 8

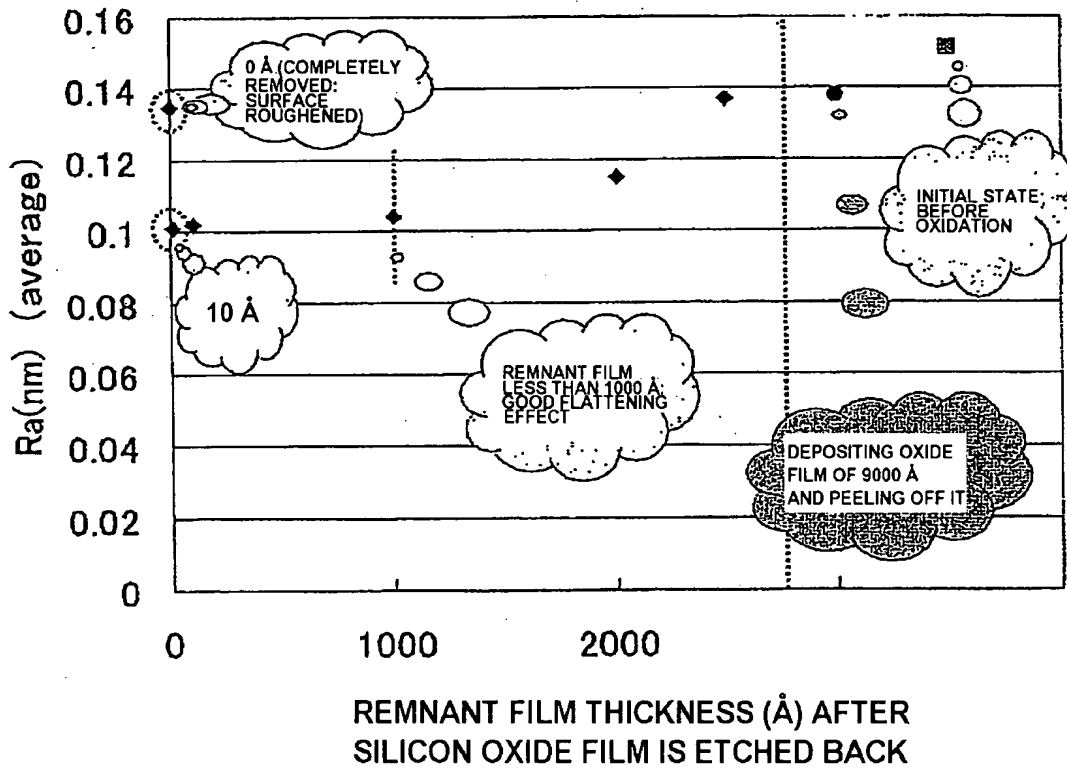


FIG. 9

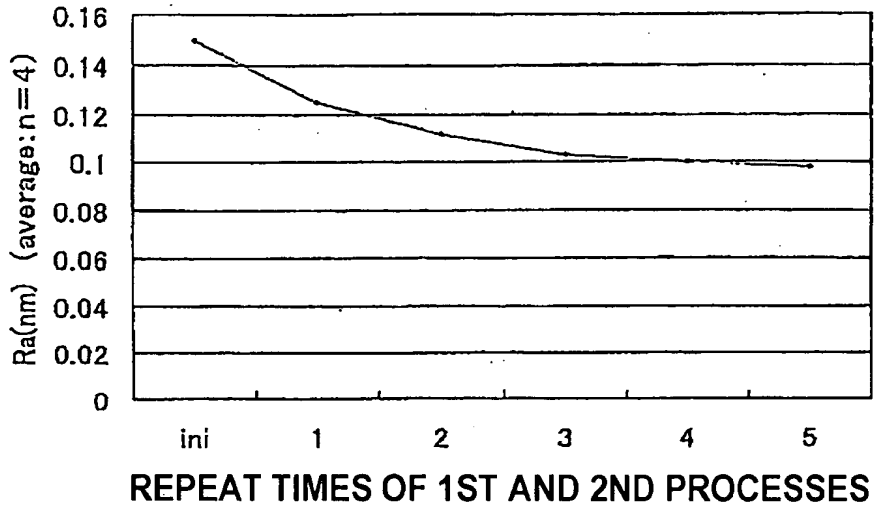


FIG. 10

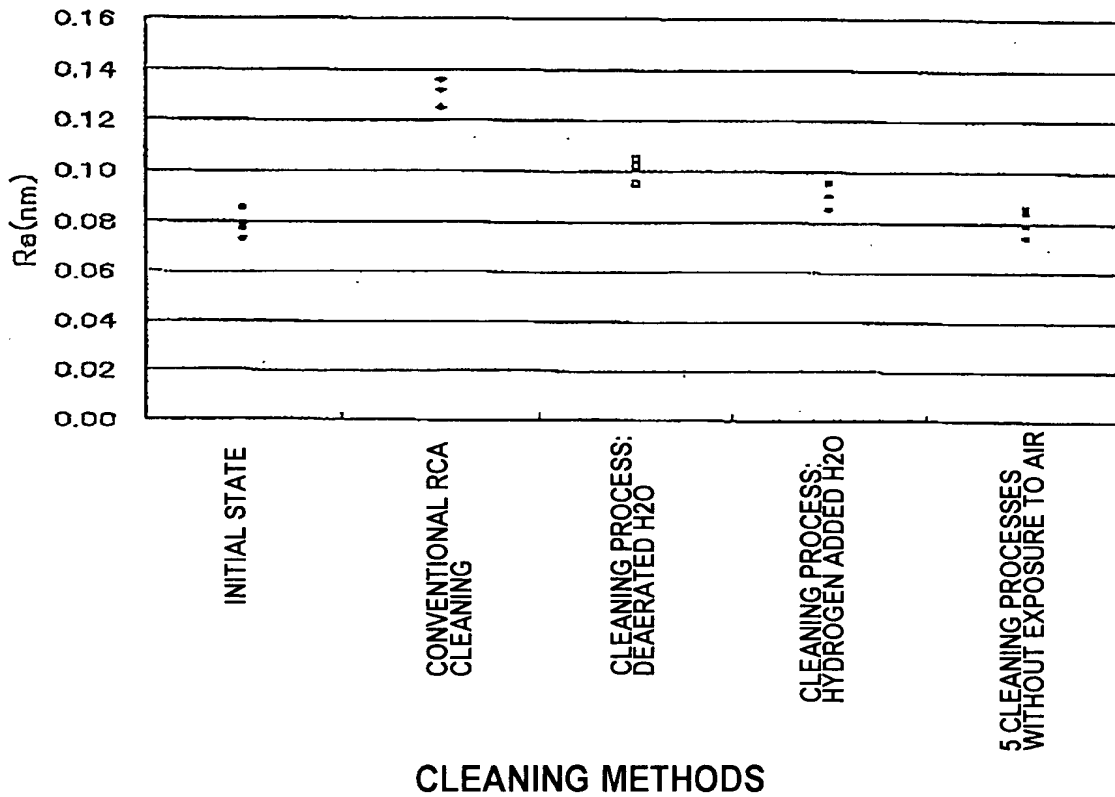
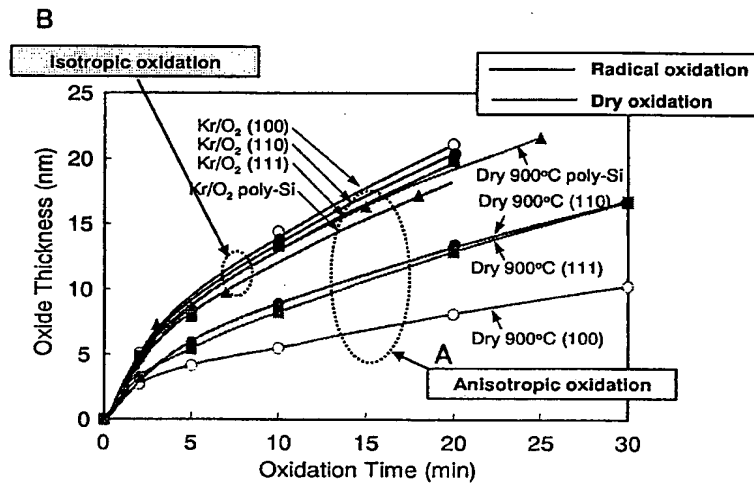


FIG. 11



**FIG. 12**

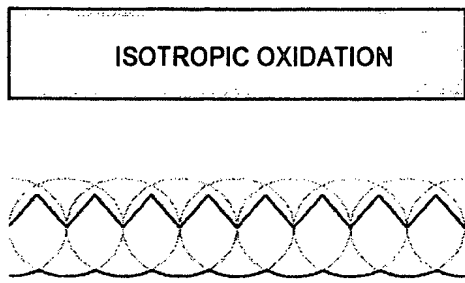


FIG. 13A

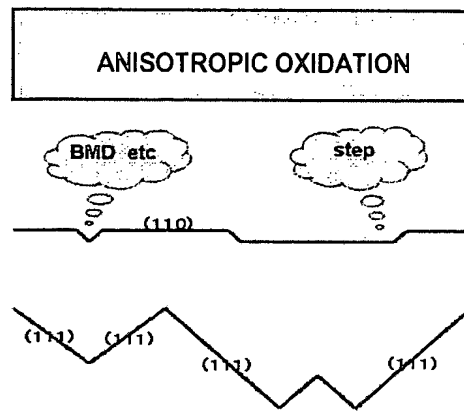


FIG. 13B

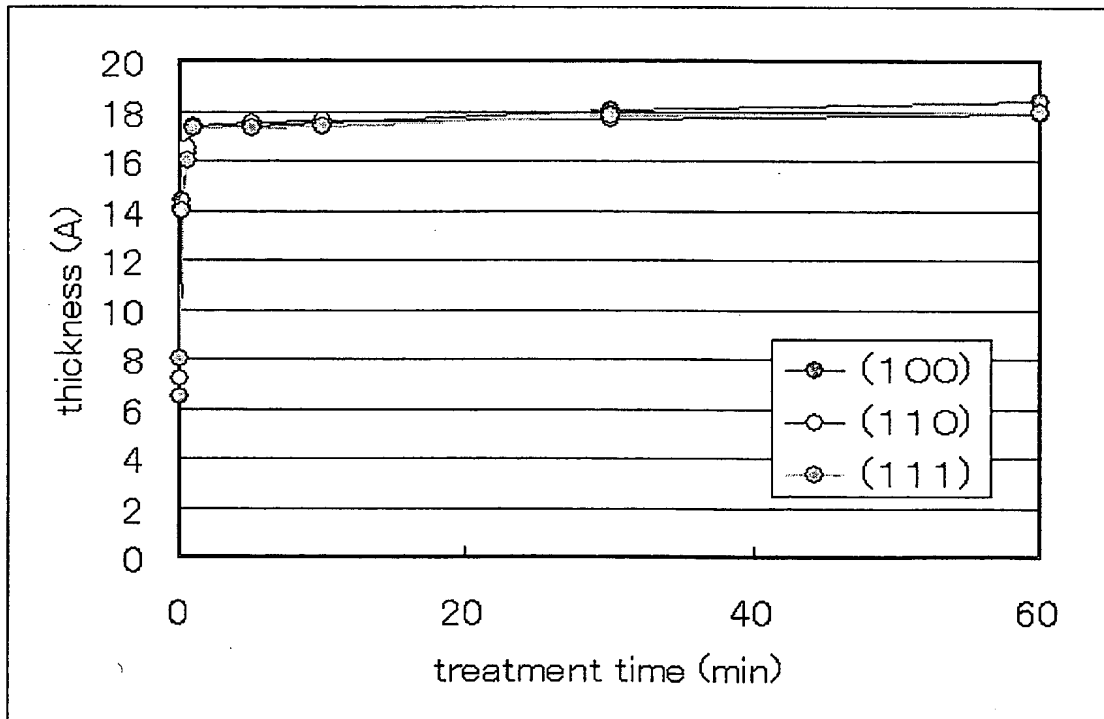
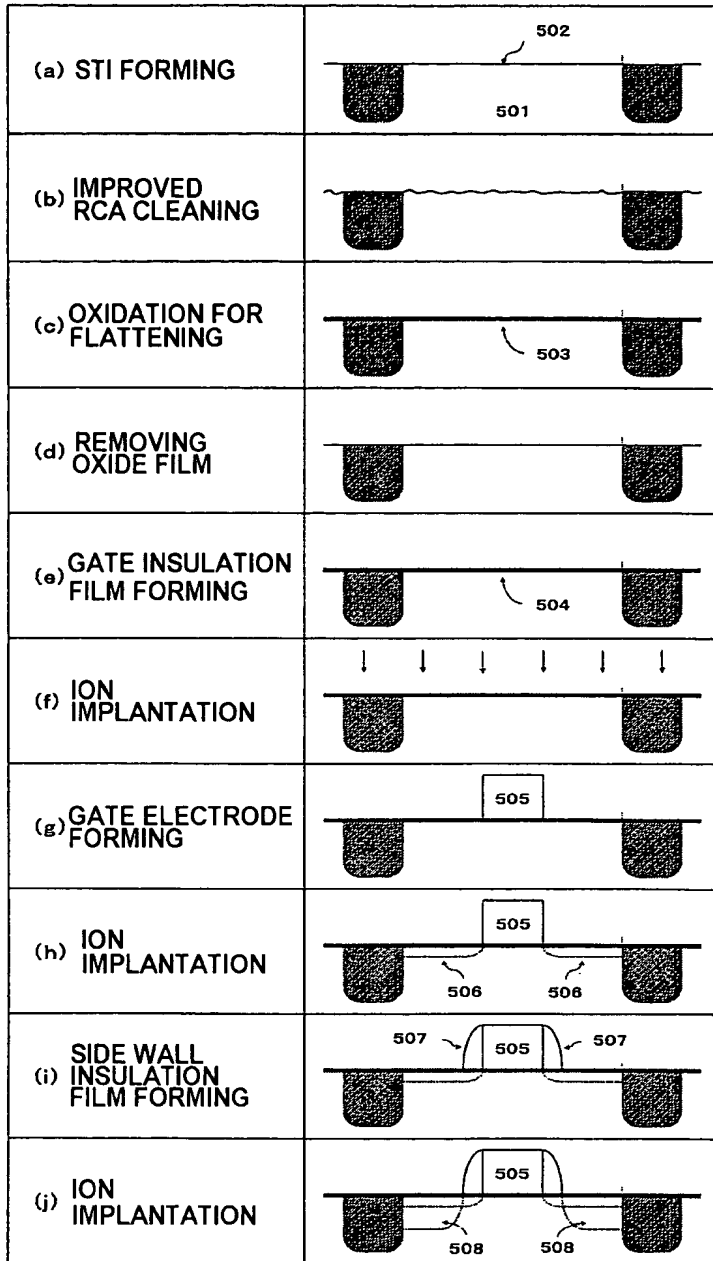


FIG. 14





**FIG. 15**

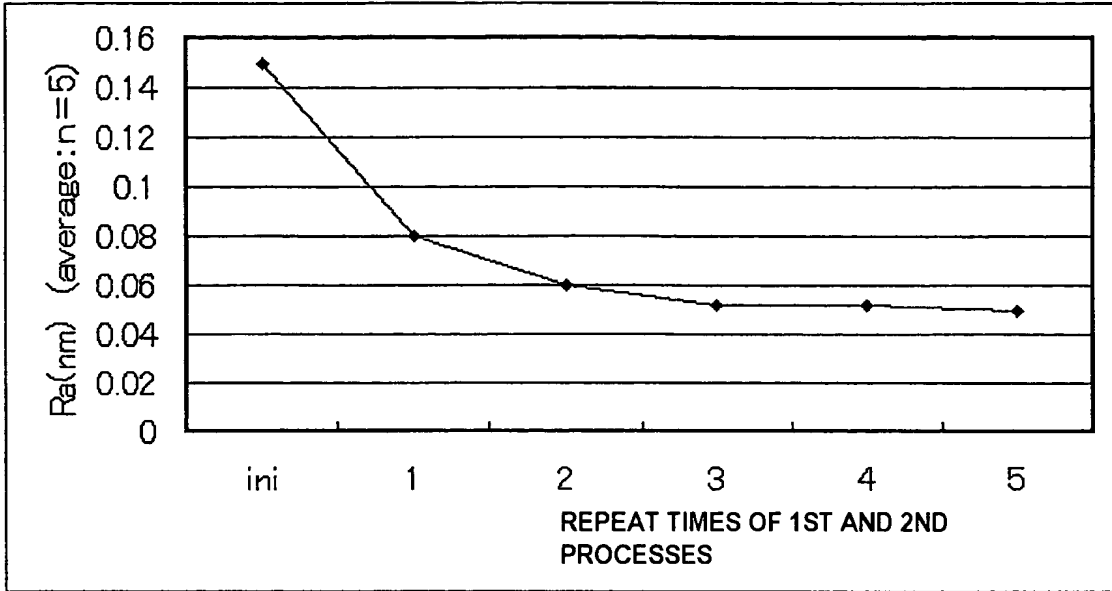


FIG. 16

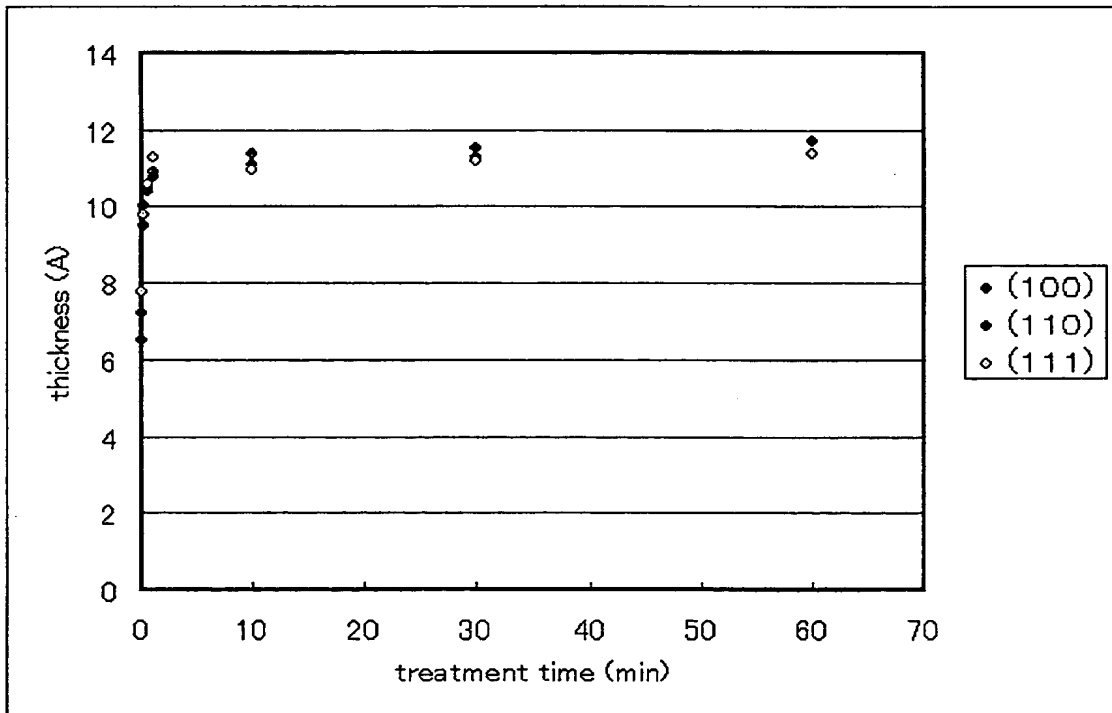
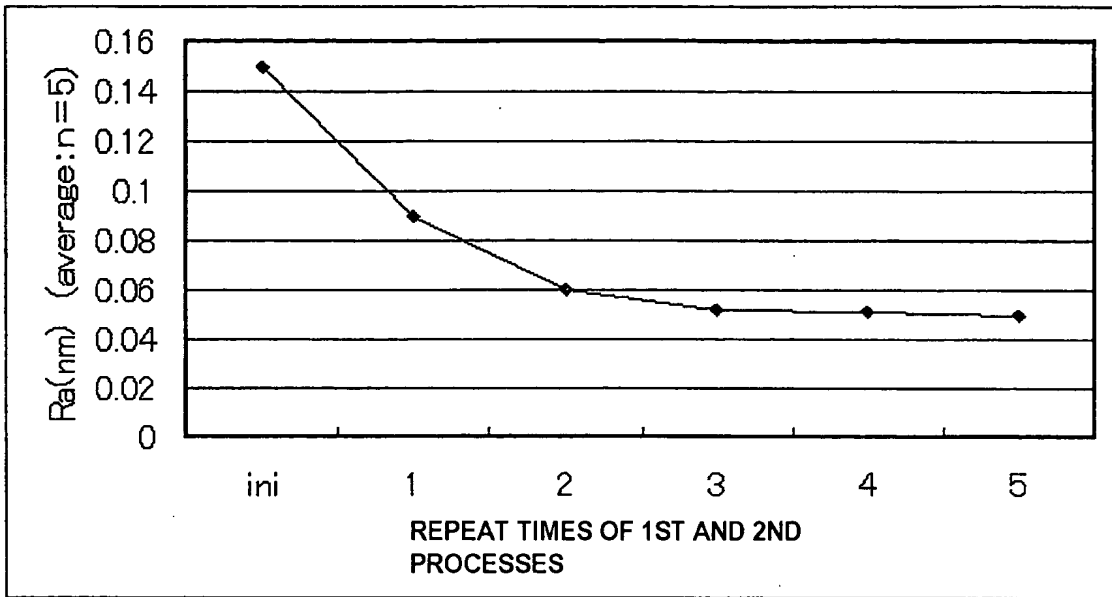


FIG. 17



**FIG. 18**

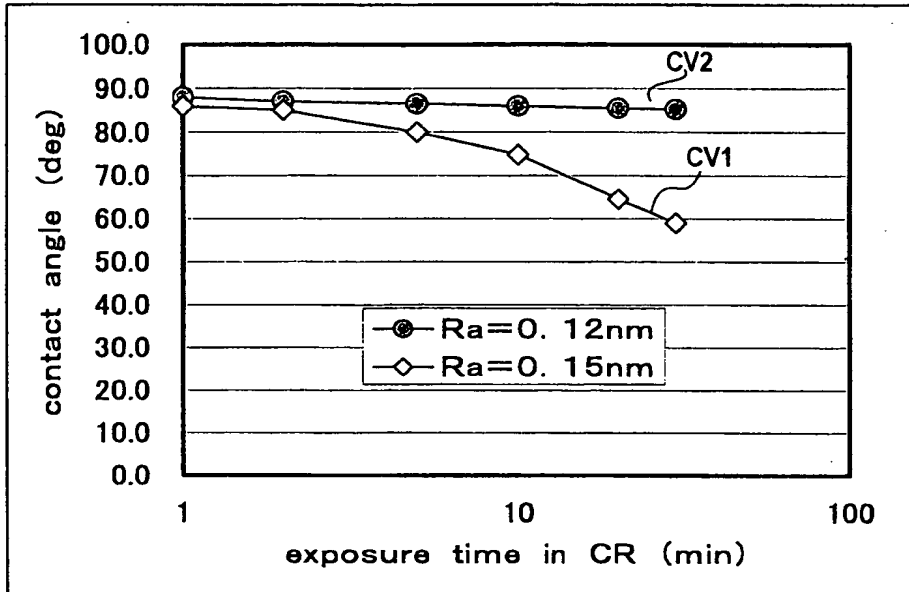


FIG. 19

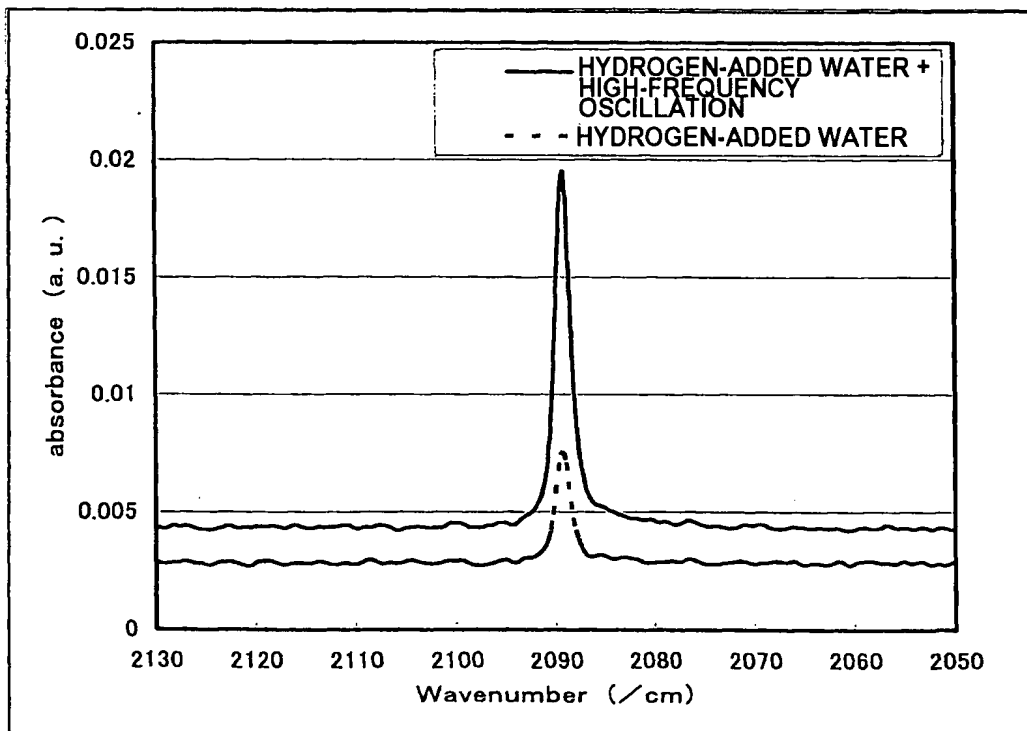


FIG. 20

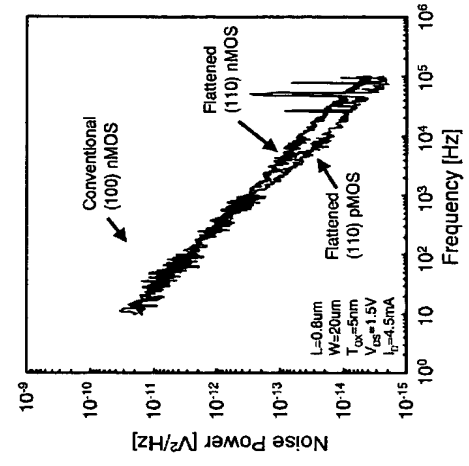


FIG. 22

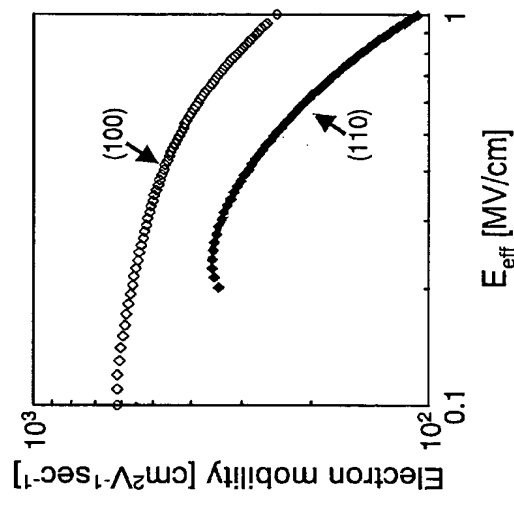


FIG. 21B

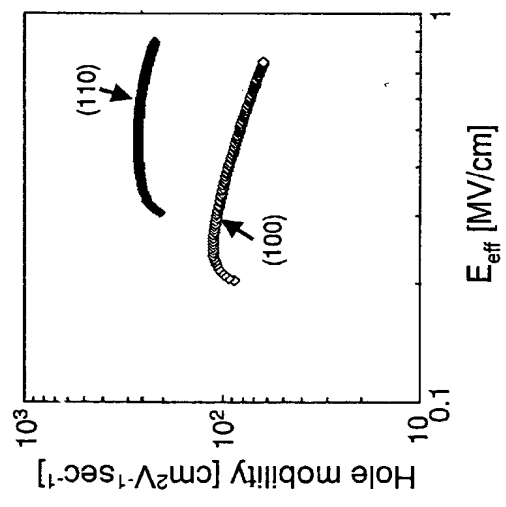


FIG. 21A